doi: 10.7499/j.issn.1008-8830.2014.09.014

第16卷第9期

2014年9月

论著・实验研究

Vol.16 No.9

Sep. 2014

內源性白血病抑制因子在脑室周围白质软化 新生大鼠脑组织中的表达

范玉颖 1 于涛 1 张俊梅 1 王华 1 赵桂锋 2 刘波 2

(中国医科大学附属盛京医院 1. 小儿神经内科; 2. 实验动物中心, 辽宁 沈阳 110004)

[摘要] 目的 探讨脑室周围白质软化(periventricular leukomalacia, PVL)新生大鼠脑组织内源性白血病抑制因子(leukemia inhibitory factor, LIF)的表达变化。方法 采用左侧颈总动脉结扎并低氧(6% O_2 4 h)处理建立 3 日龄 Wistar 大鼠缺氧缺血(HI)PVL 模型。HI 后 1 d、3 d、7 d、14 d 和 28 d 处死动物,应用 Real-Time PCR 方法和 Western blot 方法分别检测脑组织 LIF mRNA 和蛋白的表达变化;应用免疫荧光双标染色方法检测 LIF 和胶质纤维酸性蛋白(glial fibrillary acidic protein, GFAP)的共表达情况。结果 HI 后 1、3、7 d PVL 组脑组织 LIF 蛋白表达量均高于对照组(均 P < 0.01);PVL 组脑组织 LIF 蛋白表达量于 HI 后 3 d 达到高峰,明显高于同组其他时间点(P < 0.01),随后降低。LIF mRNA 的变化趋势与 LIF 蛋白一致。免疫荧光双标染色结果显示 LIF 与 GFAP 存在共表达。结论 PVL 新生大鼠脑组织中星形胶质细胞 LIF mRNA 与蛋白的表达均呈先升高后降低的趋势;LIF 可能参与了 PVL 病变的修复过程。 [中国当代儿科杂志,2014,16(9):933—938]

[关键词] 白血病抑制因子; 脑室周围白质软化; 缺氧缺血; 新生大鼠

Expression of endogenous leukemia inhibitory factor in neonatal rats with periventricular leukomalacia

FAN Yu-Ying, YU Tao, ZHANG Jun-Mei, WANG Hua, ZHAO Gui-Feng, LIU Bo. Department of Pediatric Neurology, Shengjing Hospital of China Medical University, Shenyang 110004, China (Wang H, Email: wangh1@sj-hospital.org)

Abstract: Objective To study the changes of endogenous leukemia inhibitory factor (LIF) in neonatal rats with periventricular leukomalacia (PVL). **Methods** A PVL model of 3-day-old Wistar rats was prepared by left carotid artery ligation followed by 6% oxygen for 4 hours. The rats were sacrificed at 1, 3, 7, 14 and 28 days of hypoxia ischemia (HI), and the brain tissues were sampled. Real-Time PCR and Western blot methods were applied to analyze the expression of LIF mRNA and protein. Double staining immunofluorescence was used to detect the co-expression of LIF and GFAP. **Results** At 1, 3 and 7 days of HI, LIF protein level in the PVL group was higher than in the control group (*P*<0.01). In the PVL group, the LIF protein level on the third day after HI reached a peak and was higher than the other time points (*P*<0.01). The change of LIF mRNA expression showed the same tendency with LIF protein. The double staining immunofluorescence showed a co-expression of LIF and GFAP. **Conclusions** LIF mRNA and LIF protein expression in astrocytes show a trend of initial increase followed by steady decline in neonatal rats with PVL, suggesting that endogenous LIF may participate in the repair of PVL. **[Chin J Contemp Pediatr, 2014, 16(9): 933-938]**

Key words: Leukemia inhibitory factor; Periventricular leukomalacia; Hypoxia ischemia; Neonatal rats

随着围产医学的进步,早产儿的存活率显著提高,其脑损伤问题也倍受关注。脑室周围白质软化(periventricular leukomalacia, PVL)是早产儿脑损伤的常见类型。新生期脑白质损伤诱导了星形

胶质细胞活化增殖^[1]。新近研究对新生期 PVL 髓 鞘形成障碍机制提出了新见解:在弥漫性星形胶 质细胞增生的病变区域内少突胶质前体细胞分化 成熟受阻,其发育成熟受阻与星形胶质细胞增生

密切相关^[2]。白血病抑制因子(leukemia inhibitory factor, LIF)是一种多功能的细胞因子,近年研究报道 LIF 在中枢神经系统损伤病变中更多显示的是神经保护作用,被认为是一种神经营养因子^[3-5]。本课题组前期研究证实 LIF 能够抑制体外氧糖剥夺培养诱导的原代大鼠星形胶质细胞的增殖^[6]。目前关于新生期脑损伤后 LIF 表达的研究报道罕见,且局限于 LIF mRNA 水平,研究时间点亦局限^[3,7]。本研究拟探讨 PVL 新生大鼠脑组织内源性 LIF 的表达变化,以及 LIF 在星形胶质细胞表达情况,进而明确 LIF 是否参与了早产儿 PVL 的损伤或修复过程,为早产儿脑损伤的研究提供新的理论依据。

1 材料与方法

1.1 实验动物与分组

健康清洁级 3 日龄(P3)Wistar大鼠,雌雄不限,购自中国医科大学附属盛京医院实验动物中心;应用随机数字表法随机分为:对照组(n=80)和实验组(PVL组,n=80)。按缺氧缺血(hypoxia-ischemia, HI)后 1 d、3 d、7 d、14 d、28 d 再随机各为分 5 个亚组,每组 16 只。

1.2 仪器与试剂

美国 PTC-100TM 型 PCR 扩增仪、荧光定量 PCR 仪(ABI7500,美国)、美国 OM-25ME 型测氧仪、日本 Olympus 激光共聚焦显微镜。Trizol 总 RNA 提取液购于 TaKaRa 大连宝生物工程有限公司; PrimeScriptTM RT Reagent Kit 购于 TaKaRa 大连宝生物工程有限公司; SYBRRPremix ExTaqTM 试剂盒购于 TaKaRa 大连宝生物工程有限公司; GAPDH 一抗和 HRP 标记 IgG 二抗均购于美国 Santa Cruz;LIF 山羊抗大鼠多克隆抗体(一抗)购于美国 Santa Cruz 公司,GFAP 小鼠抗大鼠单克隆抗体(一抗)购于美国 Santa Cruz 公司,GFAP 小鼠抗大鼠单克隆抗体(一抗)购于美国 Santa Cruz 公司,GFAP 小鼠抗大鼠单克隆抗体(一抗)购于美国 Cath,则于美国 Cath,则于北京中杉金桥生物技术有限公司。

1.3 动物模型的制备及标本采集

参照 Bain 等^[3] 方法制备 PVL 动物模型。PVL 组行左侧颈总动脉结扎手术:无水乙醚麻醉,仰卧于动物手术台上(保持温度为 37℃),局部消

毒后切开约 0.5 cm 长的颈部皮肤,逐层分离出左侧颈总动脉结扎并切断,缝合切口后置于 37℃恒温箱内恢复 1 h 后,放置在 2000 mL 37℃密闭容器中,以 2 L/min 的速度输入 6% 0₂、94% N₂混合气体,持续 4 h 后取出返回母鼠笼中饲养。对照组仅分离左侧颈总动脉,不作结扎及缺氧处理。各时间点各组大鼠处死前乙醚吸入麻醉,局部消毒后切开皮肤,依次打开腹腔、横膈、胸腔,暴露心脏,经左心室以生理盐水灌注至流出液体清亮(用于制作冰冻切片的标本继续以 4% 多聚甲醛灌注),断头取脑;待做 Real-Time PCR 和 Western blot 的标本置于 -80℃冰箱。

1.4 Real-Time PCR 检测脑组织中 LIF mRNA 的 相对表达

(1)总RNA提取:将组织剪碎,加入Trizol 总 RNA 提取液裂解 10 min; 加入 200 μL 氯仿, 振荡后室温静置 5 min, 12000 g 4℃离心 15 min; 吸出上清移至 Eppendorf 管内,加入等体积异丙 醇充分混匀,室温静置 10 min, 12000 g 4℃离心 10 min; 弃上清, 加入 70% DEPC 水配制的乙醇 1 mL, 轻轻洗涤管壁, 12000 g 4℃离心 10 min; 弃 去乙醇, 室温干燥, 加入 DEPC 水 20 μL, 将沉淀 溶解; 取 1 μL 总 RNA 用紫外分光光度计测 260 nm 及 280 nm 的吸光度值, 检测 RNA 质量及产量。 (2) 反转录(RT) 合成 cDNA 第一链:调整 RNA 浓度为 500 ng/µL; RT 反应体系为 5× PrimeScript Buffer 4 µL, Prime Script RT Enzyme Mix I 1 µL, Oligo dT Primer (50uM) 1 µL, Random 6mer1 $1~\mu L$, RNase free $dH_2O~1~\mu L$, Total RNA $2~\mu L$; RT 反应条件为37℃15 min,85℃5 s。(3) Real-Time PCR 反应: Real-Time PCR 引物的设计根据 GenBank 中登录的大鼠 LIF 基因序列设计如下 PCR 引物: LIF-F 5'-CGGCAACCTCATGAACCAGA-3', LIF-R 5'-ATGTTGGGCGCACATAGCTTATC-3'; 标扩增片段大小为 135 bp, 引物由上海生工生物 技术服务有限公司合成。Real-Time PCR 反应体系 包括: cDNA2 µL, SYBR Premix Ex TagTM (2×) 10 μL, PCR Forward Primer (5 μM) 1 1 μL, PCR Reverse Primer (5 µM) 1 µL, ROX Reference DyeII (50×) 0.4 μL, dH₂O 5.6 μL, 总量 20 μL。PCR 反应参数: 95℃ 10 s; 95℃ 5 s, 60℃ 34 s; 40 个 循环反应。(4)相对定量分析: 首先计算△ Ct 值。 实验组 \triangle Ct 值 = (实验组目的基因的 Ct 值) – (实验组内参基因的 Ct 值); 对照组 \triangle Ct 值 = (对照组目的基因的 Ct 值) – (对照组内参基因的 Ct 值)。再计算 \triangle Ct 值 = (实验组 \triangle Ct 值 – 对照组 \triangle Ct 值)。最后计算 $2^{-\Delta \triangle$ Ct 值,结果即为实验组目的基因相对于对照组目的基因的相对表达量。

1.5 Western blot 测定脑组织 LIF 蛋白表达

将脑组织机械破碎,每份样本重 50 mg 左右, 每组均8份标本,加6倍于组织体积的全蛋白裂 解液, 4℃超声破碎 12000 g 4℃离心 30 min, 取上 清 2 μL, 按 BCA 试剂盒说明测蛋白浓度, 以浓度 最低管为基准调节浓度。每孔准备 120 µg 蛋白, 加上样缓冲液煮沸 5 min, 上样至聚丙烯酰胺凝胶 中,100 V 电泳约 1.5 h。取出凝胶,于转印液中 平衡 30 min; 取出 PVDF 膜, 甲醇中浸泡 5 min, ddH₂O 浸泡 3 min, 转印液中平衡 5 min; 4 ℃ 40 V 电转印过夜至 PVDF 膜,使用新配制的封闭液室 温封闭 2 h, 以洗膜液洗 5 min; 分别加入稀释 的 LIF 和 GAPDH 一抗, 4℃孵育过夜; 洗膜液洗 膜, 5 min × 3 次; 加入 1:3000 稀释的碱性磷酸酶 标记的二抗,室温杂交2h,洗膜液洗膜3次,各 5 min; ECL 显色液显色成像; 采用 Quantity one-4.4.0凝胶成像分析软件分析,记录每条蛋白电泳 带的灰度值,以GAPDH作为内参,进行分析。

1.6 免疫荧光双标染色检测脑组织 LIF 和 GFAP 蛋白的共表达

取 HI 后 3 d 大 鼠 脑 组 织 的 冰 冻 切 片 进 行 染色。冰 冻 切 片 室 温 放 置 15 min 后,甲醇浸泡 30 min; PBS 冲洗 5 min×3次;将切片浸入 0.01 M 柠檬酸盐缓冲液,于微波炉中加热修复抗原,间隔 10 min,反复 2 次;冷却至室温后 PBS 冲洗 5 min×3次;滴加 5% BSA 封闭液,室温下孵育 20 min,甩去多余液体;同时滴加小鼠抗大鼠 GFAP (1:100)和山羊抗大鼠 LIF (1:75),4℃ 孵育过夜;PBS 冲洗 5 min×3次;暗室中同时滴加 FITC 标记兔抗小鼠荧光二抗 (1:50)和 TRITC 标记兔抗山羊荧光二抗 (1:50);室温避光孵育 2 h,PBS 冲洗 5 min×3次;DAPI 染细胞核,室温避光 5 min; PBS (pH 7.2~7.6)冲洗 5 min×3次;激光共聚焦显微镜下观察。阴性对照:除用 PBS 代替一抗外,其他步骤同上。

1.7 统计学分析

所有数据采用 SPSS 16.0 软件处理, 计量资料 以均数 ± 标准差 $(\bar{x}\pm s)$ 表示, 两组间比较采用 t 检验, 多组间比较采用单因素方差分析 (one-way ANOVA), P<0.05 为差异有统计学意义。

2 结果

2.1 动物模型的一般情况

PVL 组新生大鼠在缺氧期间均出现不同程度 的异常反应, 表现为皮肤苍白、发绀以及频繁抽搐, 10只(11%)在缺氧中死亡,随机予以补充10只 大鼠。恢复氧供后新生大鼠皮肤迅速转为红润, HI 1 d 后上述异常反应均消失。对照组新生大鼠共 80 只,全部存活,无上述异常表现。苏木精 - 伊 红(HE)染色观察 HI 后大鼠脑组织病理形态学改 变,结果显示:实验组在HI后3d左侧(结扎侧) 侧脑室周围白质区开始出现筛网状坏死灶,7d开 始出现左侧侧脑室扩大表现,14d实验组大鼠病 变程度明显加重,左侧侧脑室较对侧及对照组明 显扩大,左侧脑白质组织结构稀疏模糊,脑室旁 细胞排列紊乱,神经纤维走向紊乱,侧脑室周围 可见囊性疏松坏死区域形成; 对照组大鼠左右侧 脑室对称,细胞层次分明,脑白质结构正常,染 色清晰。HI后 28 d,实验组大鼠病变与 HI后 14 d 相似,病变程度未见明显加重(图1)。

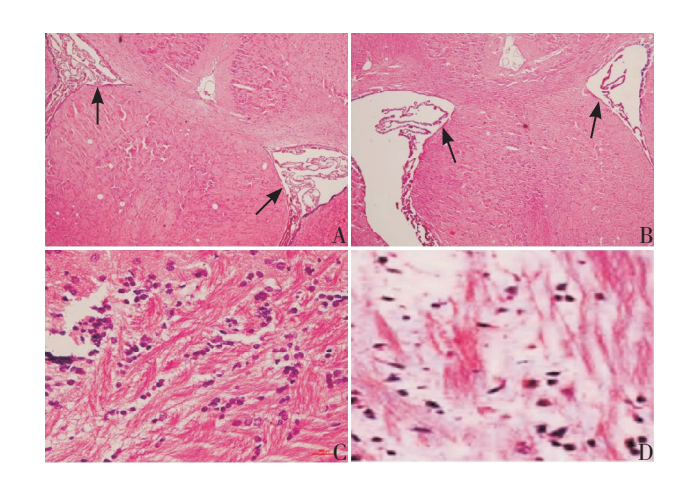


图 1 HI 后 14 d 脑组织病理学改变(HE 染色) PVL组(B, ×40)左侧(结扎侧)侧脑室较对侧和对照组(A, ×40)扩大(箭头所示)。对照组(C, ×400)脑白质结构正常, 染色清晰; PVL组(D, ×400)左侧侧脑室周围白质组织结构稀疏模糊,神经纤维走向紊乱,可见囊性疏松坏死区域形成。图 A、B 标尺为 500 μm, 图 C、D 为 50 μm。

2.2 各组大鼠脑组织 LIF mRNA 的表达变化

对照组各时间点的 LIF mRNA 表达差异无统计学意义。HI 后 1、3、7 d PVL 组脑组织 LIF mRNA 均高于同时间对照组(t 值分别为 9.136、23.890、11.294,均 P<0.01),HI 后 1 d 时为对照组的 1.51 倍,3 d 时为对照组的 2.01 倍,7 d 时为对照组的 1.46 倍;14 d、28 d 时与对照组的差别无统计学意义(t 值分别为 0.445、0.531,均P>0.05)。PVL 组脑组织 LIF mRNA 表达于 HI 后 3 d 达到高峰,明显高于同组其他时间点,随后降低(F=43.037,P<0.01);HI 后 1 d 高于 7 d、14 d 和 28 d (P<0.01);HI 后 7 d 高 于 14 d 和 28 d (P<0.01);HI 后 14 d 与 28 d 比较,差异无统计学意义(P>0.05)(图 2)。

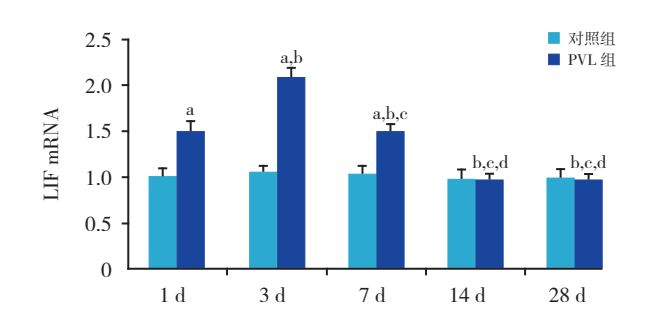


图 2 各组大鼠脑组织 LIF mRNA 的表达变化 (n=8) a 示与同时间点对照组比较,P<0.01; b 示与同组 1 d 比较,P<0.01; c 示与同组 3 d 比较,P<0.01; d 示与同组 7 d 比较,P<0.01。

2.3 各组大鼠脑组织 LIF 蛋白表达的时程变化

对照组各时间点的 LIF 蛋白表达差异无统计学意义。HI 后 1、3、7 d PVL 组脑组织 LIF 蛋白表达量均高于同时间对照组(t 值分别为 9.88、17.203、3.543,均 P<0.01);HI 后 1 d 时为对照组的 1.35 倍,3 d 时为对照组的 1.64 倍,7 d 时为对照组的 1.25 倍;14 d、28 d 时与对照组的差别无统计学意义(t 值分别为 0.116、0.242,均P>0.05);PVL 组脑组织 LIF 蛋白表达量于 HI 后 3 d 达到高峰,明显高于同组其他时间点,随后降低(F=42.035,P<0.01);HI 后 1 d 明显高于7 d、14 d 和 28 d (P<0.01);HI 后 7 d 明显高于14 d 和 28 d (P<0.01);HI 后 14 d 与 28 d 比较差异无统计学意义(P>0.05)。见图 3~4。

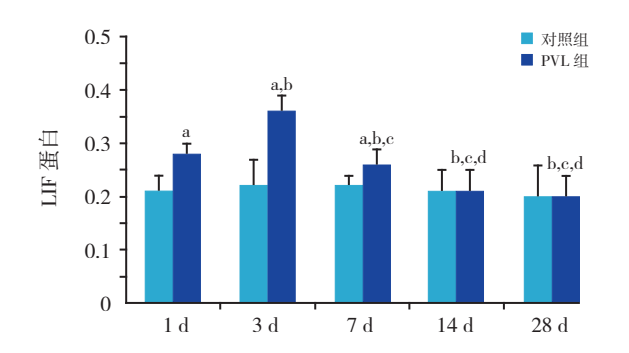


图 3 各组新生大鼠脑组织 LIF 蛋白的表达变化(n=8, means \pm S.E.M) a 示与同时间点对照组比较,P<0.01; b 示与同组 1 d 比较,P<0.01; c 示与同组 3 d 比较,P<0.01; d 示与同组 7 d 比较,P<0.01。

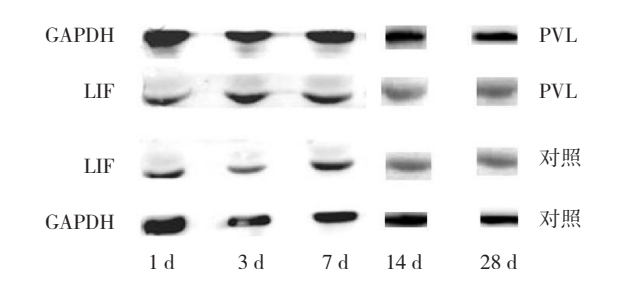


图 4 各组新生大鼠脑组织 LIF 蛋白的表达变化

2.4 LIF与GFAP免疫荧光双标染色

取 HI 后 3 d 实验组大鼠 8 只,进行脑室周围白质组织切片的 LIF 与 GFAP 免疫荧光双标染色。双标染色结果显示 LIF 与 GFAP 存在共表达,GFAP 标记的星形胶质细胞表达 LIF 蛋白(图 5~6)。

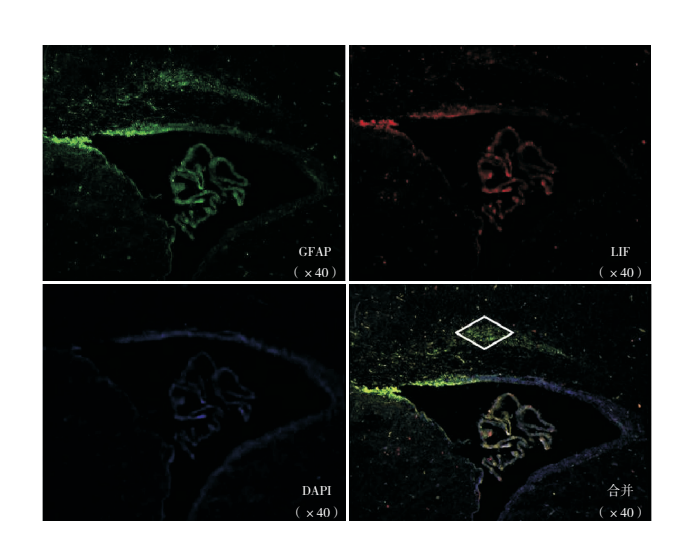


图 5 PVL 组 HI 后 3 d 脑室周围白质 LIF 与 GFAP 免疫荧光双标染色(×40) 绿色荧光为 GFAP 染色,红色荧光为 LIF 染色,蓝色荧光为 DAPI 染色(染细胞核),黄色荧光为 GFAP 和 LIF 染色合并后表现;白色菱形区域放大后结果(×400),见图 6。

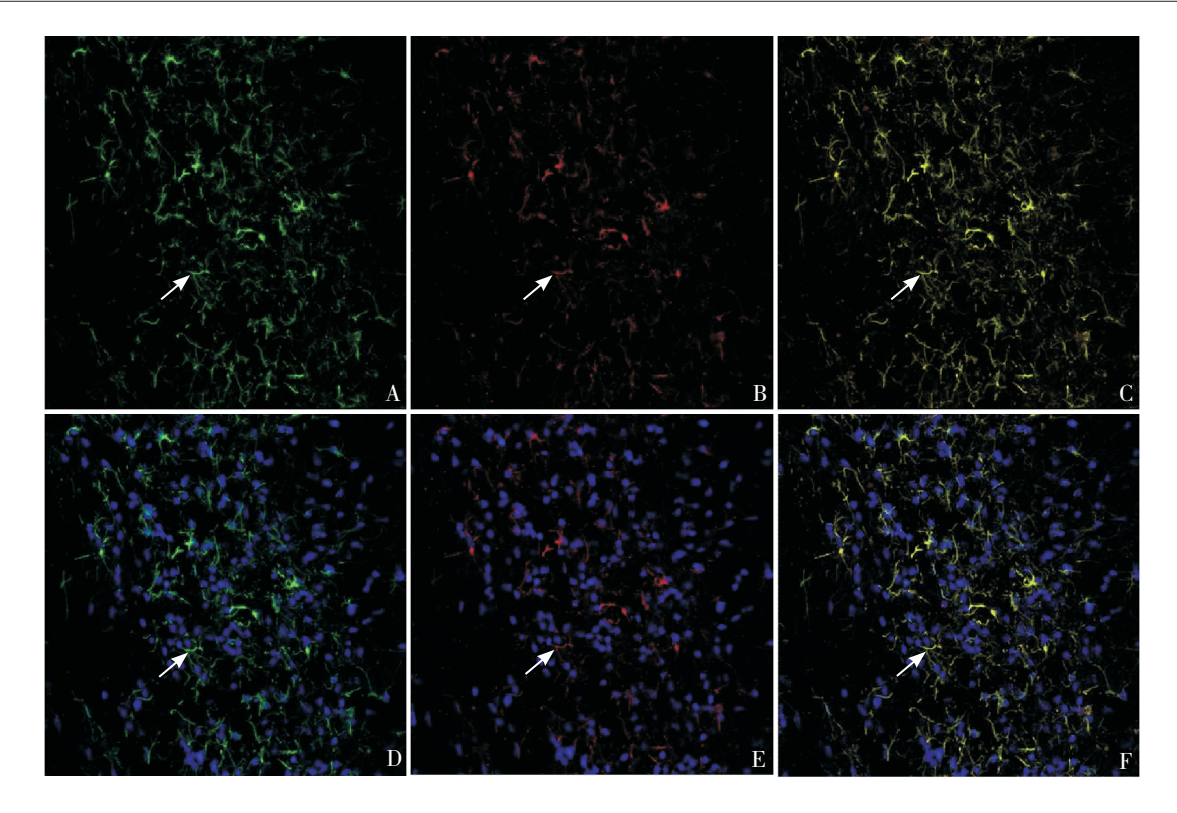


图 6 PVL 组 HI 后 3 d 脑室周围白质 LIF 与 GFAP 免疫荧光双标染色(×400) 绿色荧光为 GFAP 染色(A), 红色荧光为 LIF 染色(B), 黄色荧光为 GFAP 和 LIF 染色合并后表现(C); 蓝色荧光为 DAPI 染色(染细胞核), A、B 和 C 分别与 DAPI 合并后结果依次为 D、E 和 F; C 和 F显示 GFAP 和 LIF 共表达。箭头所示为免疫荧光染色阳性细胞。

3 讨论

LIF 是一种多功能的细胞因子, 在健康人的 神经系统中难以检测到, 但在不同的中枢神经系 统疾病及其动物模型中表达升高[8-9]。Alzheimer's 病和 Parkinson's 病患者的神经系统中 LIF 表达增 加^[8]。LIF 蛋白在急性脑卒中病人脑组织中过度表 达,而在其血浆中 LIF 蛋白表达降低 [9]。急性实验 性自身免疫性脑脊髓炎 (experimental autoimmune encephalomyelitis, EAE) 小鼠的脊髓 LIF mRNA 表 达上调^[4]。本课题组前期研究证实急性 EAE 大 鼠脑内 LIF 蛋白表达升高[10]。有关 LIF 在新生 期脑损伤疾病中的表达情况, 研究报道很少。 Covey^[7] 等的研究显示新生 7 d 大鼠缺氧缺血脑损 伤后 48 h LIF mRNA 显著升高,但在 72 h 几乎返 回至基线水平。Bain等[3]研究报道了新生3d大鼠 缺氧缺血脑损伤后7d时 LIF mRNA 的表达水平升 高,为对照组的 2.1 倍。本研究则在 mRNA 和蛋 白水平同时探讨了新生 3 d 大鼠 HI 致 PVL 后不同 时间点(1~28 d) LIF 表达的时程变化, 发现 LIF mRNA和蛋白在HI后表达增高,HI后3d时达高峰,

随后逐渐降低,14 d 时降至与对照组无差别。

LIF 在新生期大鼠脑损伤病变中的作用尚不明确。新生期缺氧缺血性脑损伤是一个多因素、多机制的级联损伤过程,包括许多环节,如氧自由基生成、细胞内钙失稳态、兴奋性氨基酸释放,炎性反应等[11]。氧自由基参与了新生期缺氧缺血后神经细胞的损害,研究表明 24~72 h 为氧自由基损伤最明显时期 [12]。本研究显示缺氧缺血性损伤后脑组织表达 LIF 的高峰时间正值氧自由基损伤最明显的时期。目前研究发现 LIF 具有保护星形胶质细胞免受氧化应激损伤的作用 [13]。本研究显示 PVL 新生大鼠脑组织内源性 LIF 于 HI 后 3 d 时表达最高,这一结果可能反映了 LIF 在新生期脑损伤病变中发挥保护作用。

LIF 能够促进神经干细胞 (neural stem cells, NSCs)的自我更新和分化 [14-15],促进新生期脑室下区神经干细胞的增殖,增殖的神经干细胞能够分化为神经细胞而修复脑损伤病变 [3-7]。本研究显示 PVL 新生大鼠脑组织内源性 LIF 仅一过性表达升高,不能持续促进神经干细胞的增殖,可能也反映了内源性修复机制的不足 [7]。

新生期脑白质损伤后星形胶质细胞过度增殖,影响神经细胞的再生,抑制损伤病变的修复^[1-2]。本课题组前期研究证实外源性 LIF 能够抑制氧糖剥夺培养后星形胶质细胞的增殖^[6]。本研究发现PVL 新生大鼠脑组织内源性 LIF 仅一过性表达升高,难以持续抑制星形胶质细胞的增殖,可能反映了内源性保护机制的不足。

体外研究显示,脂多糖及 TNF α 能够通过激活核转录因子 NF-kB 的机制诱导大鼠星形胶质细胞表达 LIF 增高,谷氨酸能够以钙离子作为信号转导的第二信使分子促进大鼠大鼠星形胶质细胞表达 LIF^[16]。钙离子是机体细胞内参与机能调节的第二信使之一,缺氧缺血性脑损伤时可发生细胞内钙离子稳态失调;脑缺氧缺血损伤时机体产生一系列内源性损伤因子,如活性氧、细胞因子、谷氨酸等,这些因子均可活化 NF-kB^[12]。GFAP 是星形胶质细胞标志物,本研究通过免疫荧光双标染色检测到 LIF 与 GFAP 共表达。因此本研究推测新生大鼠缺氧缺血性脑质病损伤早期可能通过钙离子作为第二信使分子或激活 NF-kB 机制调节脑组织星形胶质细胞表达 LIF 蛋白,但具体机制尚待进一步研究证实。

本研究结果提示,LIF可能参与了PVL病变修复过程,但其具体作用及机制仍待进一步深入研究。外源性LIF可能成为新生期脑白质损伤疾病治疗的新手段。

「参考文献]

- [1] Huang Z, Liu J, Cheung PY, et al. Long-term cognitive impairment and myelination deficiency in a rat model of perinatal hypoxic-ischemic brain injury [J]. Brain Research, 2009, 1301:100-109.
- [2] Buser JR, Maire J, Riddle A, et al. Arrested preoligodendrocyte maturation contributes to myelination failure in premature infants [J]. Annals of Neurology, 2012, 71(1): 93-109.
- [3] Bain JM, Ziegler A, Yang Z, et al. TGF\$1 stimulates the over-production of white matter astrocytes from precursors of the "brain marrow" in a rodent model of neonatal

- encephalopathy[J]. PloS One, 2010, 5(3): e9567.
- [4] Butzkueven H, Emery B, Cipriani T, et al. Endogenous leukemia inhibitory factor production limits autoimmune demyelination and oligodendrocyte loss [J].Glia, 2006, 53(7): 696-703.
- [5] Leibinger M, Müller A, Andreadaki A, et al. Neuroprotective and axon growth-promoting effects following inflammatory stimulation on mature retinal ganglion cells in mice depend on ciliary neurotrophic factor and leukemia inhibitory factor [J]. J Neurosci, 2009, 29(45): 14334-14341.
- [6] Yu-Ying F, Jun-Mei Z, Wang H, et al. Leukemia inhibitory factor inhibits the proliferation of primary rat astrocytes induced by oxygen-glucose deprivation [J]. Acta Neurobiol Exp (Wars), 2013, 73(4): 485-494.
- [7] Covey MV, Levison SW. Leukemia inhibitory factor participates in the expansion of neural stem/progenitors after perinatal hypoxia/ischemia [J]. Neuroscience, 2007, 148(2): 501-509.
- [8] Slevin M, Krupinski J, Mitsios N, et al. Leukemia inhibitory factor is over-expressed by ischaemic brain tissue concomitant with reduced plasma expression following acute stroke [J]. Eur J Neurol, 2008, 15(1):29-37.
- [9] Soilu-Hänninen M, Broberg E, Röyttä M, et al. Expression of LIF and LIF receptor beta in Alzheimer's and Parkinson's diseases [J]. Acta Neurol Scand, 2010, 121(1): 44-50.
- [10] 范玉颖,赵桂峰,张俊梅,等.实验性变态反应性脑脊髓炎大鼠脑白血病抑制因子的表达[J].实用儿科临床杂志,2011,26(14):1123-1125.
- [11] Northington FJ, Chavez-Valdez R, Martin LJ. Neuronal cell death in neonatal hypoxia ischemia[J]. Ann Neurol, 2011, 69(5): 7/13-758
- [12] 段东印. 炎症因子和自由基在诱导缺氧缺血性脑损伤新生大鼠神经细胞凋亡中的作用[J]. 中华实用儿科临床杂志, 2013, 28(23): 1825-1827.
- [13] Lapp DW, Zhang SS, Barnstable CJ. Stat3 mediates LIF-induced protection of astrocytes against toxic ROS by upregulating the UPC2 Mrna pool [J]. Glia, 2014, 62(2): 159-170.
- [14] Asano H, Aonuma M, Sanosaka T, et al. Astrocyte differentiation of neural precursor cells is enhanced by retinoic acid through a change in epigenetic modification [J]. Stem Cells, 2009, 27(11): 2744-2752.
- [15] Liu J, Zang D. Response of neural precursor cells in the brain of Parkinson's disease mouse model after LIF administration [J]. Neurol Res, 2009, 31(7): 681-686.
- [16] Fischer R1, Wajant H, Kontermann R, et al. Astrocyte-specific activation of TNFR2 promotes oligodendrocyte maturation by secretion of leukemia inhibitory factor [J].Glia, 2014, 62(2): 272-283.

(本文编辑: 王庆红)